

Chemistry

**REPORTS OF THE NATIONAL ACADEMY OF SCIENCES
OF THE REPUBLIC OF KAZAKHSTAN**

ISSN 2224-5227

Volume 5, Number 315 (2017), 83 – 92

УДК 665.656.2; 622.361.16

N.A.Zakarina¹, A.K.Akurpekova¹, L.S. Djumabaeva², D.A.Zhumadullaev¹

(¹JSC «D.V.Sokolsky Institute of Fuel, Catalysis and Electrochemistry», Almaty;
²Kazakh National Research Technical University named after K.I. Satpayev, Almaty)
e-mail: djumabaevals@mail.ru

ISOMERIZATION OF n-HEXANE OVER NANODISPERSE Pd-CATALYSTS SUPPORTED ON Al-Zr- PILLARED MONTMORILLONITE

Abstract. The paper presents data on the hydroisomerization of n-hexane on nano-dispersed Pd-catalysts, deposited to the Al-ZrTaganmontmorillonite. It is shown that a decrease in the Pd content from 0.35 to 0.1% in Pd-zole/AlZrCaHMM results in a slight increase in the specific surface area of the sample, the total pore volume and the number of mesopores. Conversion of n-hexane increases with increasing temperature and reaches 56.8% on 0.35% Pd catalyst and 46.6% by 0.1% Pd catalyst at 400°C. The selectivity for C₆₊ isomers at 400°C remains very high by 93.6-93.8%. The output of hydrocracking products does not exceed 0.4%. The introduction of mordenite into Pd-zole/AlZrSaHMM increases its activity and selectivity, especially at temperatures of 250°C and 300°C. With an increase of isomerization temperature up to 400°C, the conversion of n-hexane increases to 57.8% with selectivity to C₆₊ 87.3%, the output of isohexanes is 42.7%. When the palladium content is reduced to 0.1% at 350°C, the conversion of n-hexane falls from 54.8% to 51.8%. In the investigated temperature range, the selectivity up to C₆₊ isomers for all the catalysts remains high at 87.2-96.6%. The amount of hydrocracking products does not exceed 0.5%. The size of Pd-zole particles, determined electro-microscopically (EMB-125K), is 4-7 nm. According to electron microscopy data, the catalysts are characterized by a uniform size distribution of particles.

Key words: Isomerization, n-hexane, pillared montmorillonite, catalyst, palladium, aluminum, zirconium, nanoparticles, micropores, mesopores.

УДК 665.656.2; 622.361.16

Н.А. Закарина¹, А.К. Акурпекова¹, Л.С. Джумабаева², Д.А. Жумадуллаев¹

(¹АО «Институт топлива, катализа и электрохимии им. Д.В. Сокольского», г. Алматы;
²Казахский национальный исследовательский технический университет им. К.И. Сатпаева, г. Алматы)
e-mail: djumabaevals@mail.ru

ИЗОМЕРИЗАЦИЯ Н-ГЕКСАНА НА НАНОДИСПЕРСНЫХ XPd-КАТАЛИЗАТОРАХ, НАНЕСЕННЫХ НА ПИЛЛАРИРОВАННЫЙ Al-Zr- МОНТМОРИЛЛОНИТ

Аннотация. В работе приведены данные по гидроизомеризации н-гексана на нанодисперсных Pd-катализаторах, нанесенных на Al-ZrTagанский монтмориллонит. Показано, что уменьшение содержания Pd от 0,35 до 0,1% в Pd-золь/AlZrCaHMM приводит к небольшому увеличению удельной поверхности образца, общего объема пор и количества мезопор. Конверсия н-гексана растет с повышением температуры и достигает 56,8% на 0,35% Pd-катализаторе и 46,6% на 0,1% Pd-катализаторе при 400°C. Селективность по C₆₊ изомерам при 400°C сохраняется очень высокой 93,6-93,8%. Выход продуктов гидрокрекинга не

превышает 0,4%. Введение морденита в состав Pd-золь/AlZrCaHMM повышает его активность и селективность, особенно при температурах 250⁰и 300⁰С. С повышением температуры изомеризации до 400⁰С конверсия н-гексана растет до 57,8% с селективностью по C₆₊ 87,3%, выход изогексанов составляет 42,7%. При уменьшении содержания палладия до 0,1% при 350⁰С конверсия н-гексана падает от 54,8% до 51,8%. В исследованном интервале температур селективность по C₆₊ изомерам для всех катализаторов сохраняется высокой 87,2–96,6%. Количество продуктов гидрокрекинга не превышает 0,5%. Размер частицPd–золей, определен электронно-микроскопически (EMB-125К), составляет 4–7нм. Согласно данным электронной микроскопии катализаторы характеризуются однородным распределением частиц по размерам.

Ключевые слова: изомеризация, н-гексан, столбчатый монтмориллонит, катализатор, палладий, алюминий, цирконий, наночастицы, микропоры, мезопоры.

Введение. В основе процессов получения компонентов экологически чистых бензинов лежат реакции скелетной изомеризации алканов[1-3]. Изомеризация легких бензиновых фракций с образованием из нормальных парафинов многоразветвленных изомеров приобретает все большее значение в производстве моторных топлив и становится стратегическим «бензиновым» процессом, обеспечивающим значительный рост октанового числа во фракциях C₅ – C₆[4-5]. В связи с этим разрабатываются различные катализаторы изомеризации, которые подразделяются по температурным режимам, по доступности и дешевизне, простоте приготовления и использования, что ведет к разработке новых катализаторов или совершенствованию существующих катализаторов изомеризации [6-9].

Более 20 лет термин «наночастица» или «наноразмерная частица» используется в научной сфере. В последнее время определение наночастиц связывают не только с их размером, а с проявлением у них новых свойств, отличных от свойств объемной фазы. Так, при переходе вещества от макроразмеров к размерам, всего на один-два порядка больше молекулярных, резко меняются его свойства – с увеличением удельной поверхностной энергии изменяется его поверхностное натяжение, температура плавления и температуры структурных переходов; может измениться сама структура, его электронные характеристики, то есть весь спектр физико-химических свойств становится иным, чем для веществ в макросостоянии [10-13].

В качестве источника для получения нанодисперсных частиц активного металла в настоящей работе были использованы гидрозоли палладия, которые синтезировались при восстановлении водородом коллоидных растворов полигидроксокомплексов Pd[11]. Такой метод синтеза обеспечивает получение устойчивых золей со средним размером металлических частиц палладия, равным 4,5нм [14].

В данной работе изучены свойства бифункциональных морденитсодержащих Pd-катализаторов из гидрозолей Pd, нанесенных на Al-Zr- пилларированный монтмориллонит, и их катализическая активность в реакции изомеризации н-гексана.

Экспериментальная часть

Pd-катализаторы готовили методом пропитки носителя водным раствором золей Pd, стабилизованных полиоксометаллатами. Для приготовления золей палладия смешивали раствор Na₂PdCl₄ и раствор соли Na₂MoO₄, смесь нагревали до кипения до образования коллоидного раствора полигидроксокомплексов Pd(II), который затем охлаждали и пропускали водород до полного покрнения раствора, что свидетельствует об образовании Pd-золей.

При синтезе пилларированных глин в качестве фиксирующего агента использован гидроксо-комплекс алюминия предполагаемого состава [Al₁₃O₄(OH)₂₄(H₂O)₁₂]⁷⁺, сокращенно (Al₁₃)⁷⁺ с четырехкоординированным атомом алюминия. Методика получения олигомерного (Al₁₃)⁷⁺ состоит в гидролизе водного раствора AlCl₃ водным раствором NaOH с соотношением OH/Al³⁺=2,5 и конечным pH=4,1 в условиях интенсивного перемешивания. Методика синтеза алюминиевого монтмориллонита (AlNaHMM) описана в [14].

Внедрение в межслоевые пространства монтмориллонита циркониевых комплексов [Zr₄(OH)₈(H₂O)₁₆]⁸⁺, осуществляли по методике [15-17]. В синтезированных нами образцах соотношение Zr⁴⁺/глина составляло 2,5 ммоль/г глины, а соотношение Al:Zr составляло 1:1. Монтмориллонит пилларировали последовательно путем введения сначала Zr, а затем Al.

Палладий в количестве 0,35 и 0,1 масс.% вносили в пилларированный Al:Zr-монтмориллонитметодом пропитки раствором Pd-золя. Текстурные характеристики образцов определяли методом БЭТ по низкотемпературной адсорбции азота на приборе ACCUSORB.

Активность образцов в изомеризации н-гексана исследовали в проточном реакторе при варьировании температуры процесса в интервале 250-400⁰С. Процесс проводился в токе водорода при объемной скорости подачи сырья 0,82час⁻¹.

Результаты и их обсуждение

Физико-химические характеристики палладиевых катализаторов на Al-Zr-пилларированном монтмориллоните приведены в таблице 1.

Как видно из таблицы 1, уменьшение содержания Pd от 0,35 до 0,1% в Pd-золь/AlZrCaHMM приводит к небольшому увеличению удельной поверхности образца (от 196,1 до 198,5 м²/г) и общего объема пор (от 0,238 до 0,260 см³/г). Бесцеолитные Pd-катализаторы являются преимущественно мезопористыми, причем с ростом содержания Pd от 0,1 до 0,35 % количество мезопор уменьшается от 81,6 до 64,2%, в то время как содержание микропор в этих катализаторах растет с 18,4 до 35,8%.

Таблица 1- Удельная поверхность, эффективный объем пор и их распределение для Pd-золь /AlZrCaHMM-катализаторов.

| Образец | S, м ² /г | Общий объем пор, см ³ /г | R, Å | Относительное количество, % | |
|-----------------------|----------------------|-------------------------------------|-----------|-----------------------------|--------------------|
| | | | | Микропоры, (0-20Å) | Мезопоры, (20-80Å) |
| AlZrCaHMM+HM | 249,9 | 0,167 | 12,0-70,0 | 70,7 | 29,3 |
| 0,35%Pd/AlZrCaHMM | 196,1 | 0,238 | 10,0-65,0 | 35,8 | 64,2 |
| 0,1%Pd/AlZrCaHMM | 198,5 | 0,260 | 10,0-70,0 | 18,4 | 81,6 |
| 0,35% Pd/AlZrCaHMM+HM | 219,2 | 0,247 | 12,0-69,0 | 15,2 | 84,8 |
| 0,1% Pd/AlZrCaHMM+HM | 222,5 | 0,216 | 12,0-69,0 | 44,1 | 55,9 |

Из таблицы 1 видно, что введение морденита способствует росту удельной поверхности пилларированного монтмориллонита и палладиевых катализаторов на его основе. Удельная поверхность морденитсодержащих Pd-катализаторов растет в равной степени независимо от количества Pd в катализаторе.

Введение морденита в Pd-катализаторы на Al-Zr-CaHMM, характеризуется не только ростом удельной поверхности, но и перераспределением пор по размерам по сравнению с Pd-катализаторами без цеолита. Количество мезопор в 0,35%Pd/AlZrCaHMM составляет 64,2%, а с введением морденита количество мезопор увеличивается до 84,8%. При сопоставлении распределения пор по размерам на морденитсодержащем носителе и на Pd-катализаторах на их основе можно видеть, что сам носитель характеризуется микропористой структурой, а при нанесении палладия количество микропор снижается. Так, при введении 0,1% Pd количество микропор уменьшается от 70,7 до 44,1%, в то время как на 0,35%Pd количество микропор еще меньше-15,2%.

Меняющуюся пористую структуру в зависимости от количества нанесенного палладия и наличия морденита наглядно иллюстрируют рисунки 1 и 2. Из рисунка 1 виден рост числа мезопор и уменьшение количества микропор в бесцеолитном Pd-катализаторе с уменьшением содержания палладия. С введением морденита количественное соотношение микро- и мезопор определяется количеством палладия в катализаторе. Для 0,1%Pd- катализатора содержание микропоррастет, а количество мезопор снижается с введением морденита. В случае 0,35% Pd- катализатора наблюдается обратная картина: количество микропор уменьшается, а мезопор –увеличивается.

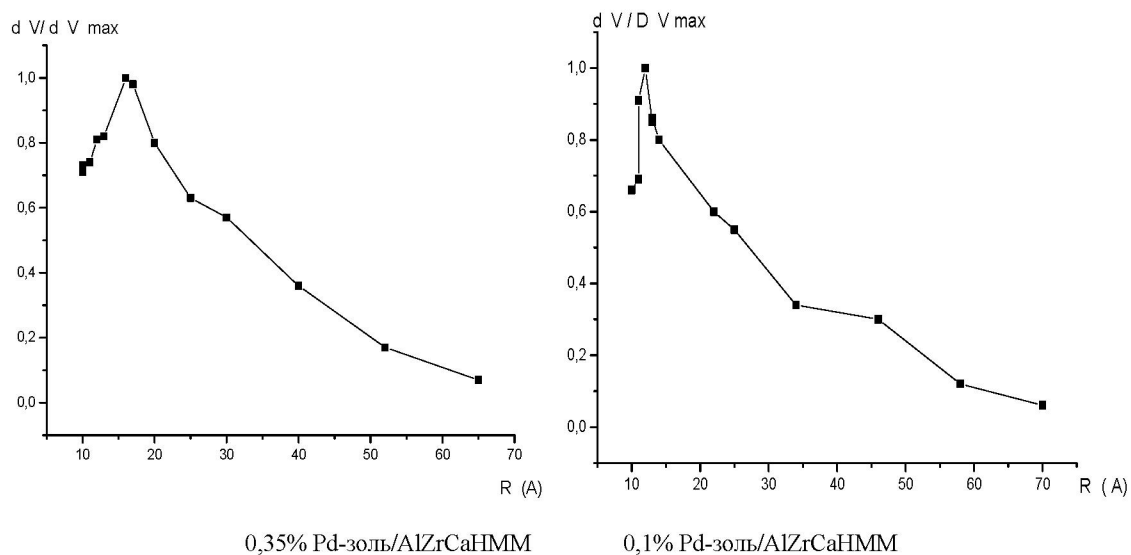
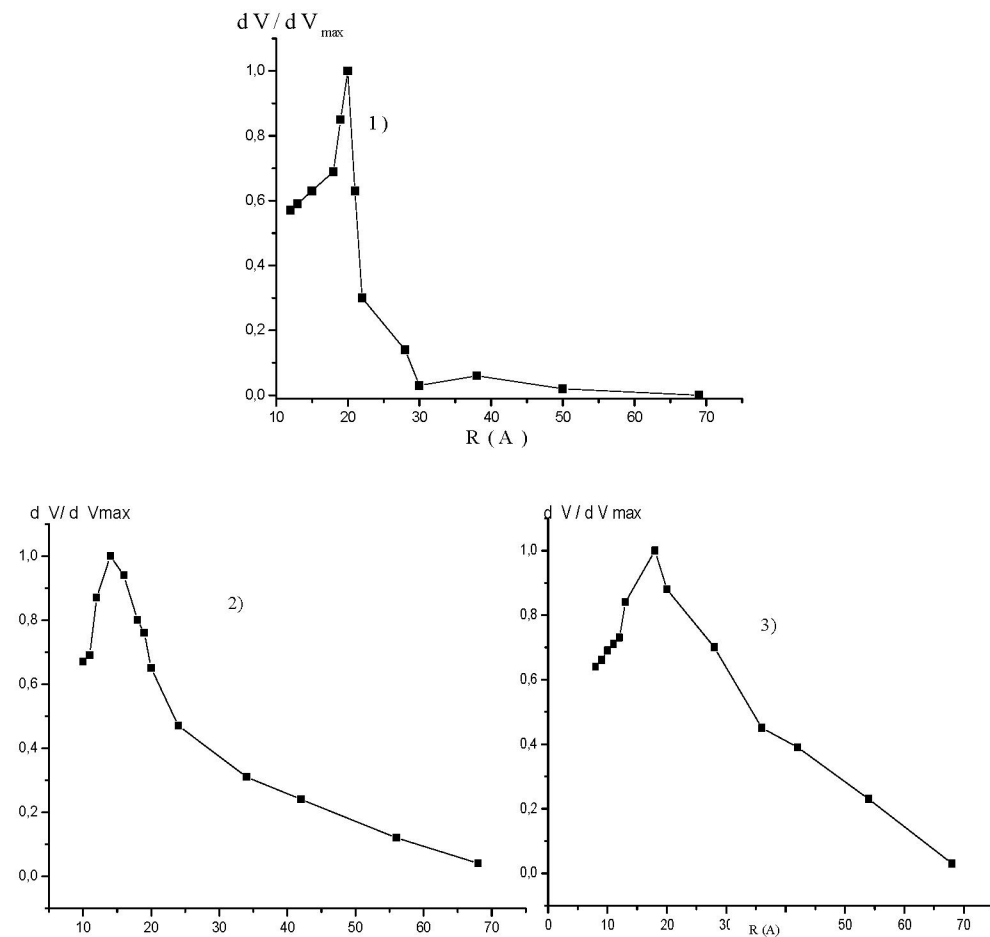


Рисунок 1 – Кривые распределения пор по их эффективным радиусам в Pd-золь/AlZrCaHMM – композитных катализаторах в зависимости от содержания металла



Обозначения кривых: AlZrCaHMM+HM (1); 0,35% Pd/AlZrCaHMM+HM (2); 0,1% Pd/AlZrCaHMM+HM (3)

Рисунок 2 – Кривые распределения пор по их эффективным радиусам на Pd-AlZrCaHMM+HM – композитном катализаторе в зависимости от содержания металла

Такое изменение текстурных характеристик катализаторов влияет и на их изомеризующую активность в процессе гидроконверсии н-гексана [18-19].

На рисунке 3 и табл.2 показаны изменения конверсии н-гексана, выхода изогексанов, селективности по изомерам на 0,35% и 0,1% Pd-контактах в зависимости от температуры.

Таблица 2 - Изомеризация н-гексана на Pd-золи/AlZrCaHMM– композитном катализаторе

| Кат-р | T, °C | α , % | S_{C_6} , % | S_{C_6+} , % | Выход продуктов реакции, % | | | | | | | | | | | |
|-----------|-------|--------------|---------------|----------------|-----------------------------------|------|------|---------|------|---------|--------|-----------|---------|------|------|------|
| | | | | | {C ₁ -C ₄ } | i-Б | 2МБ | 2,2 ДМБ | 2 МП | 2,2 ДМП | 2,4ДМП | 2,2,3 ТМБ | 3,3 ДМП | 2 МГ | 3 МГ | 3 Е |
| 0,35 % Pd | 250 | 9,6 | 68,9 | 95,7 | - | 0,2 | 0,2 | 3,8 | 2,8 | - | - | 2,3 | 0,1 | 0,2 | - | - |
| | 300 | 36,6 | 90,5 | 96,7 | 0,1 | 0,6 | 0,5 | 17,9 | 15,2 | - | - | 1,5 | 0,4 | 0,2 | 0,2 | - |
| | 350 | 49,9 | 85,4 | 93,7 | 0,2 | 0,8 | 2,1 | 23,0 | 19,6 | 0,1 | 0,3 | 1,1 | 0,9 | 0,4 | 0,5 | 0,9 |
| | 400 | 56,8 | 79,1 | 93,6 | 0,2 | 0,5 | 3,0 | 25,2 | 19,8 | 0,9 | 0,6 | 1,9 | 1,4 | 0,6 | 2,5 | 0,27 |
| 0,1% Pd | 250 | 8,0 | 63,8 | 95,3 | - | 0,14 | 0,24 | 2,96 | 2,15 | - | - | 2,16 | 0,04 | 0,33 | - | - |
| | 300 | 27,7 | 89,1 | 98,2 | - | 0,2 | 0,3 | 14,4 | 10,3 | - | - | 1,98 | 0,39 | 0,03 | 0,07 | 0,05 |
| | 350 | 43,0 | 88,5 | 95,3 | 0,16 | 0,46 | 1,4 | 19,7 | 18,3 | 0,1 | 0,2 | 0,26 | 1,5 | 0,6 | 0,12 | 0,15 |
| | 400 | 46,6 | 82,5 | 93,8 | 0,43 | 0,45 | 2,0 | 19,9 | 18,5 | 0,5 | 0,5 | 1,33 | 1,37 | 0,43 | 0,83 | 0,27 |

Анализ результатов изомеризации н-гексана на 0,35% и 0,1% палладиевых катализаторах на основе золей показали, что их активность и селективность меняются с уменьшением содержания палладия. Как видно из таблицы 2, конверсия н-гексана растет с повышением температуры и достигает 56,8% на 0,35% Pd-катализаторе и 46,6% на 0,1% Pd-катализаторе при 400°C. Селективность по C₆₊ изомерам при 400°C сохраняется очень высокой 93,6-93,8%. Выход диметилбутана при 400°C на 0,35% Pd-контакте составляет 25,2%. При уменьшении содержания палладия до 0,1% выход C₆-диизомеров уменьшается и составляет 19,9%. При этом выход продуктов гидрокрекинга не превышает 0,4%. На 0,35% Pd-катализаторе при 400°C содержание C₆-изомеров составляет 45%, при уменьшении содержания палладия до 0,1% выход изогексанов составляет 42,2%.

Наглядно данные по выходу изогексанов, селективности и конверсии процесса изомеризации н-гексана на 0,35% и 0,1% Pd-золь-катализаторах при различных температурах иллюстрирует рисунок 3.

Максимальные выходы изогексанов были получены на 0,1-0,35%Pd-катализаторах при температуре 400°C, которые составили 38,4-45,0%.

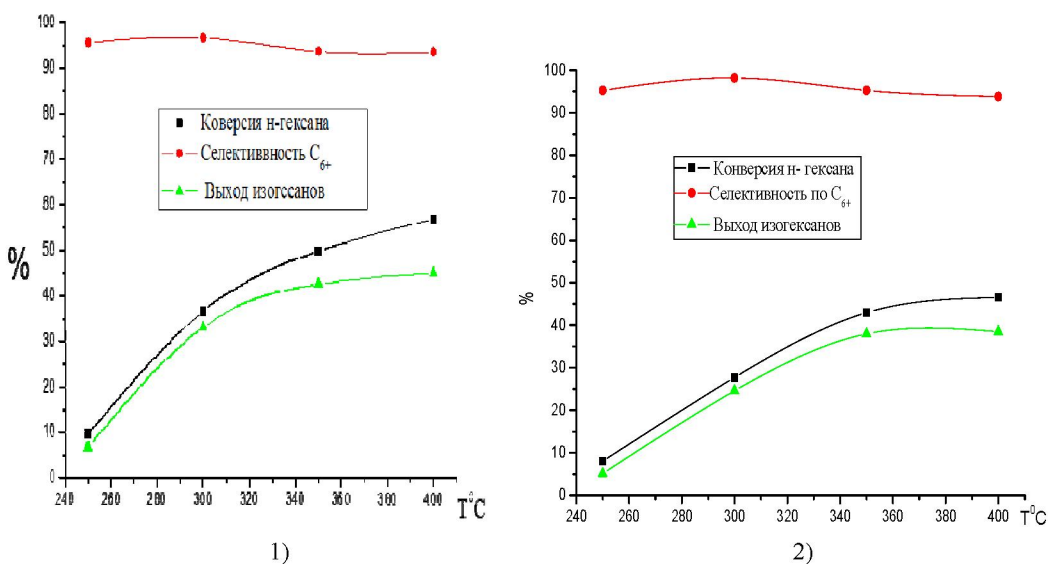


Рисунок 3 - Выход изогексанов, селективности и конверсии процесса изомеризации н-гексана на 0,35%Pd-золь/AlZrCaHMM(1);0,1%Pd-золь/AlZrCaHMM (2)- катализаторах в зависимости от температуры

В таблице 3 и на рисунке 4 приведены данные по изомеризующей активности Pd-золь/AlZrCaHMM, модифицированном морденитом, в зависимости от содержания металла.

Таблица 3 - Изомеризация н-гексана на Pd-золь/AlZrCaHMM+HM- композитном катализаторе

| Кат-р | T, °C | a, % | S _{C6} , % | S _{C6+} , % | Выход продуктов реакции, % | | | | | | | | | | |
|-----------|-------|------|---------------------|----------------------|-----------------------------------|------|------|--------|------|--------|--------|----------|--------|------|------|
| | | | | | {C ₁ -C ₄ } | i-Б | 2МБ | 2,2ДМБ | 2МП | 2,2ДМП | 2,4ДМП | 2,2,3ТМБ | 3,3ДМП | 2МГ | |
| 0,35 % Pd | 250 | 17,5 | 80,9 | 96,6 | - | 0,3 | 0,3 | 8,6 | 5,6 | - | - | 2,3 | 0,2 | 0,2 | 0,1 |
| | 300 | 45,4 | 88,7 | 94,2 | 0,4 | 0,9 | 1,4 | 21,5 | 18,8 | - | - | 1,5 | 0,6 | 0,2 | 0,2 |
| | 350 | 54,8 | 80,9 | 87,2 | 0,5 | 2,2 | 4,4 | 24,7 | 19,6 | 0,2 | 0,1 | 1,5 | 1,1 | 0,2 | 0,3 |
| | 400 | 57,8 | 73,9 | 87,3 | 0,5 | 2,5 | 4,3 | 23,4 | 19,3 | 0,7 | 0,7 | 1,7 | 1,6 | 0,5 | 2,3 |
| 0,1% Pd | 250 | 13,3 | 76,2 | 96,3 | - | 0,18 | 0,31 | 6,04 | 4,12 | - | - | 2,29 | 0,14 | 0,25 | - |
| | 300 | 39,3 | 91,5 | 96,8 | 0,15 | 0,3 | 0,8 | 19,3 | 16,7 | - | - | 1,5 | 0,45 | 0,06 | 0,07 |
| | 350 | 51,8 | 83,9 | 90,1 | 0,34 | 1,5 | 3,3 | 23,7 | 19,8 | 0,17 | 0,2 | 0,47 | 1,17 | 0,91 | 0,15 |
| | 400 | 50,8 | 76,1 | 90,1 | 0,51 | 1,53 | 2,6 | 20,0 | 18,7 | 0,86 | 0,7 | 2,28 | 1,37 | 0,73 | 1,3 |

Введение морденита в состав Pd-золь/AlZrCaHMM мало влияет на его активность и селективность. На 0,35%Pd/AlZrCaHMM+HM-катализаторе максимальный выход изогексанов, наблюдается при 350°C, который достигает 44,3%, при этом количество C₆ – дизамещенных изомеров составляет 24,7%.

С повышением температуры изомеризации до 400°C конверсия н- гексана растет до 57,8% с селективностью по C₆-87,3%, выход изогексанов составляет 42,7%. При уменьшении содержания палладия до 0,1% при 350°C конверсия н-гексана падает от 54,8% до 51,8%. На этом катализаторе выход изогексанов составляет 43,5%, количество 2,2 диметилбутанов 23,7%. Найдено, что в исследованном интервале температур селективность по C₆₊ изомерам для всех катализаторов сохраняется высокой 87,2–96,6%. Количество продуктов гидрокрекинга не превышает 0,5%.

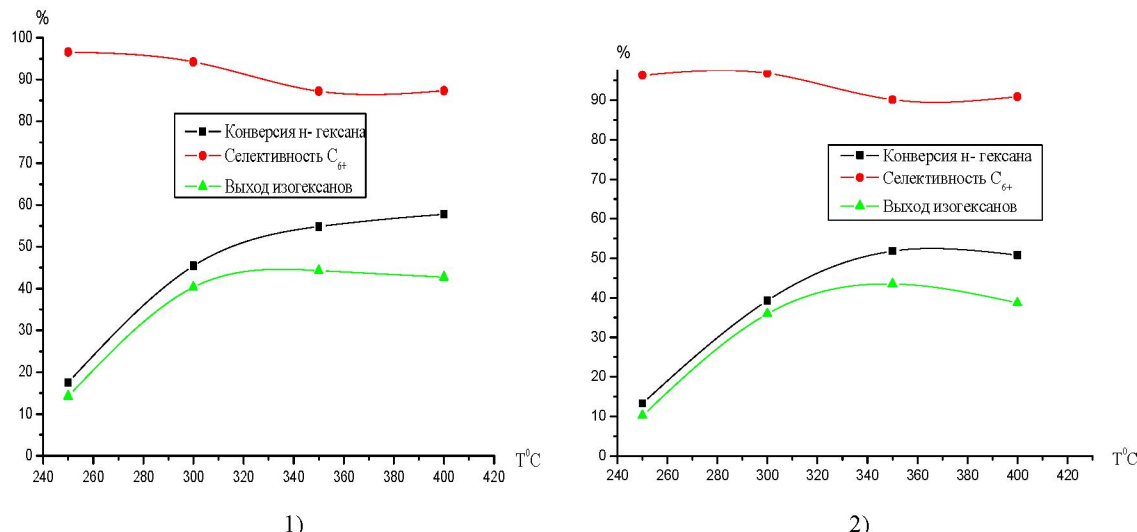


Рисунок 4 - Выход изогексанов, селективности и конверсии процесса изомеризации н-гексана на 0,35%Pd-золь/AlZrCaHMM+HM (1); 0,1%Pd-золь /AlZrCaHMM+HM (2)- катализаторов в зависимости от температуры процесса

Максимальный выход изогексанов был получен на 0,35%Pd/AlZrCaHMM -катализаторе при 400°C, что составляет 44,94%. Образование C₇-изомеров 2,2 ДМП, 2,4 ДМП 2,2,3 ТМБ, 2 МГ, 3МГ, 3 ЭП в количестве 8,2% на этом катализаторе свидетельствует, вероятно, о побочном протекающих процессах при изомеризации н-гексана.

При добавлении морденита в 0,35%Pd-золь-катализатор выход изогексанов составляет 44,3%, а C₇- изомеры образуются в количестве 3,5%. Аналогичный рост изомеризующей активности наблюдался на Pt-катализаторе, нанесенном на сульфатированный ZrO₂, при температуре 400°C, как и в случае Pd-катализатора на пиллариированной глине, что характерно для высокотемпературной

изомеризации по бифункциональному механизму. В классическом виде бифункциональный механизм подразумевает независимое действие «металлических» и «кислотных» центров[20].

Дисперсность частиц Pd-золей определяли электронно-микроскопическим методом (EMB-125K) с применением микродифракции. Согласно данным электронной микроскопии катализаторы характеризуются однородным распределением частиц по размерам(рис.5). Ранее было показано, что при нанесении Pdзолей на носители размер частиц металла не меняется [14]. В 0,1%Pd-катализаторе из золейнамикродифракционной картиненайдены рефлексы, которые можно отнести к Pd_5Si и ZrO , что свидетельствует о взаимодействии Pd с элементами носителя с образованием силицида палладия(рис.5а). Возможно, это взаимодействие имеет место при проникновениии наночастиц Pd-золяв пористую структуру пилларированного монтмориллонита с последующей необратимой сорбцией полиоксометаллата, являющегося неорганическим стабилизатором золя. Действительно, средний размер частиц палладия в 0,35%Pd, полученном из золя полиоксомолибдата (Mo_7O_{24}), составляет 3,5-5,5нм, который мало меняется при нанесении на пилларированную глину(рис. 5б).

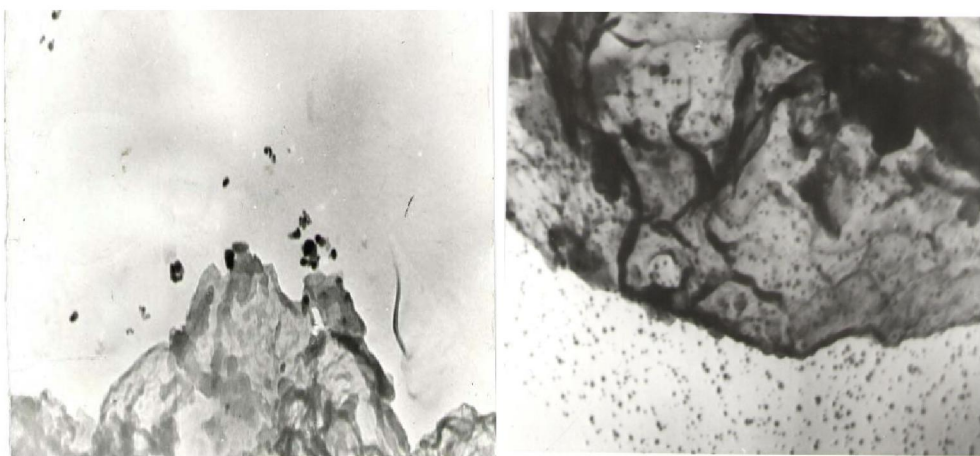


Рисунок 5– Электронномикроскопический снимок 0,35%Pd-золь/AlZrCaHMM-катализатора (Увеличение 50000)

Наэлектронномикроскопическом снимке 0,35%Pd-золь/AlZrCaHMM-катализаторе видны обширные участки скопления частиц Pd размером -4-5нм, а также идентифицирован ZrO .

С введением морденита в катализатор размер частиц палладия не меняется, что видно на рисунке 6.

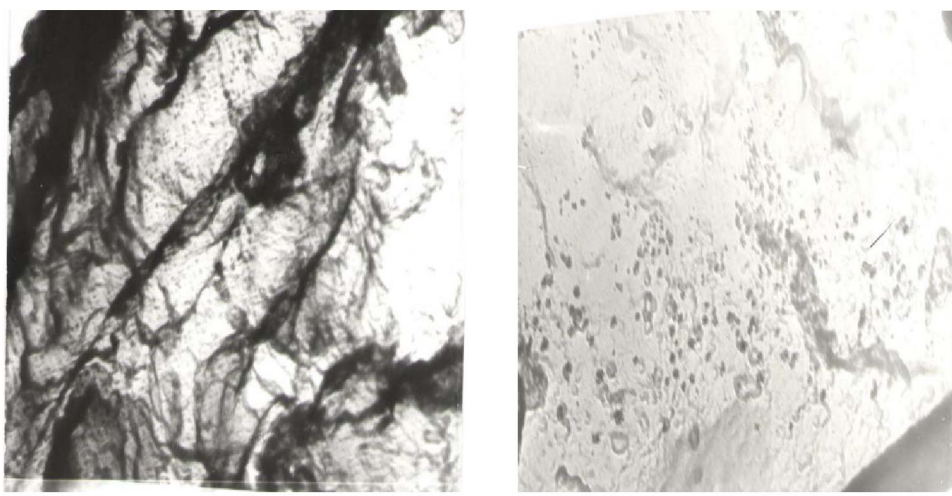


Рисунок6– Электронномикроскопические снимки 0,1%Pd-золь/AlZrCaHMM+HM (а) (Увеличение 24000);0,35%Pd-золь/AlZrCaHMM+HM (б) -катализаторов (Увеличение 50000)

Как видно из рисунка 6(а) на катализаторе 0,1%Pd-ZrAl/CaHMM+HM, модифицированном морденитом, количество Pd-наночастиц размером частиц ~4-5 нм небольшое. При увеличении содержания палладия до 0,35% в мордените содержащем катализаторе (рис.6б) видны мелкие плотные частицы Pd размером 5-7 нм, которые образуют небольшие агрегаты из нескольких частиц.

Выводы. Были синтезированы Pd-катализаторы из золей, стабилизированных поликсометаллами и нанесенных на пилларированный Al/Zr монтморилонит. Определены текстурные свойства носителей и Pd-катализаторов на их основе.

Электронно-микроскопически определен размер частиц палладия в золях, равный 4-7 нм, который не меняется при нанесении на носитель.

Введение морденита в Pd-катализаторы для концентрации Pd 0,35% и 0,1% приводит к увеличению конверсии н-гексана при сохранении высокой селективности.

Испытания полученных катализаторов показали их высокую изомеризующую активность и селективность в реакции изомеризации н-гексана. Максимальный выход изогексанов (24,7% 2,2ДМБ + 19,6% 2МП) составляет 44,3% при температуре 350⁰С и атмосферном давлении на 0,35%Pd-золь/Al/Zr/CaHMM+HM.

Авторы благодарят сотрудников лаборатории физико-химических методов исследования за анализ образцов методами БЭТ и электронной микроскопии младшего научного сотрудника Нурмаканова Ержана и научного сотрудника Комашко Ларису Владимировну.

Источник финансирования исследований. Работа выполнена в рамках проекта 0256/ГФ4 «Регулирование физико-химических и каталитических свойств модифицированных слоистых алюмосиликатов для синтеза высокооктановых изомеров из н-парафинов нефти».

ЛИТЕРАТУРА

- [1] Смоликов М.Д., Бикметова Л.И., Кирьянов Д.И., Затолокин Е.В., Казанцев К.В., Муромцев И.В., Белый А.С. Катализаторы изомеризации бензиновых фракций на основе сульфатированного диоксида циркония, нанесенного на Г-Al₂O₃ // Катализ в промышленности - 2014. - №. - С.44-48.
- [2] Боруцкий П.Н., Подклептнова Н.М. // Катализ в промышленности. 2002. № 2. С. 86—88.
- [3] Зиннуров Р. Р., Зиннуров Д. Р., Ахмедянова Р. А., Лиакумович А. Г. Скелетная изомеризация н-пентана и н-гексана при комнатной температуре в присутствии каталитических систем на основе галогенидов алюминия, обладающих суперкислотными свойствами. // Вестник Казанского технологического университета, 2011г. №8. С. 51-59.
- [4] Кузьмина Р.И., Фролов М.П., Ливенцев В.Т. Изомеризация процессов получения экологически чистых бензинов: учеб. Методическое пособие-Саратовск: изд. Саратовский университет, 2008г.-88с.
- [5] Бурсиан, Н.Р. Технология изомеризации парафиновых углеводородов. – М.: Химия, 1985. – 191 с.
- [6] Сидоров Г.М., Ахметов А.Ф., Зиннатуллин Р.Р. Опыт получения компонентов автомобильных бензинов с улучшенными экологическими характеристиками// Международный журнал прикладных и фундаментальных исследований. – 2014. – № 1. – С.31-33.
- [7] Иванова А.А., Гильмутдинов А.Т. Исследование низко- и среднетемпературной изомеризации пентан-гексановой фракции // Нефтегазовое дело -2013. -№1. – С.341-348.
- [8] Смирнов В.К. Талисман Е.Л., Капустин В.М., Баева И.А. и др. Промышленный опыт среднетемпературной изомеризации легкой бензиновой фракции // Нефтепереработка и нефтехимия -2005. -№2. -С.14-17.
- [9] Травкина О.С., Кувагова Р.З., Павлова И.Н. и др. Изомеризация н-гексана в присутствии катализатора на основе гранулированного морденита без связующих веществ // Нефтехимия -2015. -№5. -С.826-837.
- [10] Попов Ю. В., Мохов В. М., Небыков Д. Н., Будко И. И. Наноразмерные частицы в катализе: получение и использование в реакциях гидрирования и восстановления (обзор) // ИЗВЕСТИЯ ВолгГТУ -2014. Часть 1- С.5-44.
- [11] Ролдугин, В. И. Самоорганизация наночастиц на межфазных поверхностях / В. И. Ролдугин // Успехи химии. – 2004. – Т. 73, № 2. – С. 123–156.
- [12] Ершов, Б. Г. Наночастицы металлов в водных растворах: электронные, оптические и каталитические свойства // Российский хим. журнал. – 2002. – Т. 45, № 3. – С. 20–30.
- [13] Казаков М.О., Лавренов А.В., Бельская О.Б., Финевич В.П. Влияние природы металлического компонента на свойства бифункционального катализатора изомеризации алканов. // Конференция молодых ученых по нефтехимии к 100-летию со дня рождения проф. А.Ф. Платэ. 3-6 октября 2006г. г. Звенигород - С. 51.
- [14] Максимов Г.М., Зайковский В.И., Матвеев К.И., Лихолобов В.А. Получение коллоидных растворов металлического Pd, стабилизированных поликсометаллами, и нанесенных катализаторов на их основе.// Кинетика и катализ.- 2000.-T.41, №6. 925-932.
- [15] Закарина Н.А., Акурекова А.К., Волкова Л.Д., Григорьева В.П., Шаповалов А.А. Изомеризация н-гексана на Pd-содержащем столбчатом алюминиевом монтмориллоните. Известия НАН РК, Серия химическая. 2005. №5. С.3-7.

- [16] Gil A., Massinon., Grange P. Analysis and comparison of the microporosity in Al-, Zr- and Ti-pillared clays // Microporous Materials -1995 -Vol. 4, №5. -P. 369-378.
- [17] Малимбаева М.М., Закарина Н.А., Акулова Г.В. Pt- катализаторы на столбчатом цирконийсодержащем монтмориллоните в изомеризации н-гексана //Известия НАН РК. Сер.хим. -2007. -№3. -С. 27-31.
- [18] Issaadi R., Garin F., Chitour Ch.E., Maire G. Catalytic behaviour of combined palladium – acid catalysts: use of Al and Zr- pillared montmorillonite as supports. Part I: Reactivity of linear branched and cyclic hexane hydrocarbons // Applied Catal. – 2001. – Vol.207. – P.323-332.
- [19] Liu, C Pt-Pd bi-metall nanoparticles captured and stabilized by imine groups in a periodicsmezoporousorganosilica of SBA-15 for hydrogenation of nitrobenzene/ C.Liu, R. Tan, N.Yu, D.Yin// Microporous and mesoporous materials – 2010.- V.131.-P.162-169.
- [20]Бикметова Л.И., Казанцев К.В., Затолокина Е.В. Исследование Pt/SO₄/ZrO₂систем, нанесенных на SiO₂и Al₂O₃, в реакции изомеризации н-гексана //Химия в интересах устойчивого развития. -2013. -№1. – С. 47-53.

REFERENCES

- [1]Smolikov M.D., Bikmetova L.I., Kir'yanov D.I., Zatolokin E.V., Kazancev K.V., Muromcev I.V., Belyj A.S.Kataliz v promyshlennosti. **2014**, 44-48. (in Russ.).
- [2]Boruckij P.N., Podkletova N.M. Kataliz v promyshlennosti. **2002**, 2, 86—88. (in Russ.).
- [3]Zinnurov R. R., Zinnurov D. R., Ahmed'yanova R. A., Liakumovich A. G.Vestnik kazanskogo tekhnologicheskogo universiteta. **2011**, 8, 51-59. (in Russ.).
- [4]Kuz'mina R.I., Frolov M.P., Livencev V.T Metodicheskoe posobie-Saratovsk: izd. Saratovskij universitet, **2008**, 88. (in Russ.).
- [5]Bursian, N.R. N.R. Bursian. M: Himiya, **1985**, 191. (in Russ.).
- [6]Sidorov G.M., Ahmetov A.F., Zinnatullin R.R. Mezhdunarodnyj zhurnal prikladnyh i fundamental'nyh issledovanij. – **2014**, 1,31-33. (in Russ.).
- [7] Ivanova A.A., Gil'mutdinov A.T. *Neftegazovoedelo*, **2013**, 1, 341-348 (in Russ.).
- [8] Smirnov V.K. Talisman E.L., Kapustin V.M., Babaeva I.A. idr. *Neftepererabotkaineftekhimiya* **2005**, 2, 14-17 (in Russ.).
- [9] Travkina O.S., Kuvatova R.Z., Pavlova I.N., idr. *Neftekhimiya*, **2015**, 5, 826-837 (in Russ.).
- [6] Skornikova S.A., Kiseleva T.P., Celyutina M.I. idr. *Vestnikirkutskogosudarstvennogotekhnicheskogouniversiteta*, **2010**, 4, 147-151.(in Russ.).
- [7] Tagiev D.B., Imanova R.V., Starikov R.V. idr. *Neftekhimiya*, **2008**, 1, 29-32. (in Russ.).
- [8] Smolikov M.D., SHIkurenok V.A., YAblokova S.S. *Kataliz v neftepererabatyayushchejpromyshlennosti*, **2014**, 2, 51-58 (in Russ.).
- [9] Issaadi R., Garin F., Chitour Ch.E., Maire G. *Applied Catal.* **2001**, 207, 323-332.
- [10] Popov Y. V., Mohov V. M., Nebykov D. N., Budko I. I. (obzor) IZVESTIYA Volg GTU **2014**, 1: 5-44. (in Russ.).
- [11] Roldugin, V. I. Uspekhihimii, **2004**, 2, 123–156. (in Russ.).
- [12]Ershov, B. G. Rossijskij him. Zhurnal, **2002**, 45: 3, 20–30. (in Russ.).
- [13]Kazakov M.O, Lavrenov A.V, Bel'skaya O.B, Finevich V.P. Konferenciymolodyhucheniyhponeftekhimii k 100-letiyu s dnyarozhdeniya prof. A.F Plateh. 3-6 oktyabrya, **2006**, Zvenigorod, 51 (in Russ.).
- [14]Maksimov G.M., Zajkovskij V.I., Matveev K.I., Liholobov V.A.Kinetikaikataliz. **2000**, 6, 925-932 (in Russ.).
- [15]Zakarina N.A., Akurpekova A.K., Volkova L.D., Grigor'eva V.P., SHapovalov A.A. *Izvestiya NAN RK, Ceriyahimicheskaya*, **2005**, 5, 3-7 (in Russ.).
- [16] Gil A., Massinon., Grange P. *Microporous Materials*. **1995**, 4, 5, 369-378.
- [17] Malimbabaeva M.M., Zakarina N.A., Akulova G.V. *Izvestiya NAN RK. Ser.him.* **2007**, 3. 27-31 (in Russ.).
- [18] Issaadi R., Garin F., Chitour Ch.E., Maire G. *Applied Catal.* **2001**, 207, 323-332.
- [19] Liu, C., Microporous and mesoporous materials. **2010**, 131, 162-169.
- [20] Bikmetova L.I., Kazancev K.V., Zatolokina E.V. IssledovanieHimiya v interesahustojchivogorazvitiya, **2013**, 1, 47- 53 (in Russ.).

Н.А. Закарина¹, А.К. Акурекова¹, Л.С. Джумабаева², Д.А. Жумадуллаев¹

¹«Д.В. Сокольскийатындағыжанармай, катализ және электрохимия институты» АҚ, Алматы қ.;

²Қ.Сәтбаев атындағыҚазақұлттықтехникалықзерттеууниверситеті, Алматы қ.

AI-Zr-МЕН ПИЛЛАРИРЛЕНГЕН МОНТМОРИЛЛОНИКЕ ҚОНДЫРЫЛҒАН НАНОДИСПЕРСТИ Pd-КАТАЛИЗАТОРЛАРДАҒЫ Н-ГЕКСАН ИЗОМЕРИЗАЦИЯСЫ

Түйін. Бұл жұмыста Тағандық монтмориллонитке Al-Zr енгізілген нанодисперсті Pd –катализаторларындағы н-гексан гидроизомеризациясы мәліметтерікелтірілген.Нәтиже бойынша, Pd мөлшерінің Pd-Z/AlZrCaHMM-да 0,35-тән бастап, 0,1%-ке дейін төмендеуі кеуектердің жалпы көлемінің, мезокеуектер мөлшерінің және меншікті беттің аздап үлкеюіне әкеледі. н-гексан конверсиясы температура арткан сайын

өседі және 400°C кезінде 0,35% Pd-катализаторында 56,8% дейін, ал 0,1% Pd-катализаторында 46,6% дейінжетеді. Нәтиже бойынша, Pd көрсеткішінің Pd-ZrAlCaHMM-да 0,35-тен бастап, 0,1%-ке дейін тәмендеуі нақты бетінің үлгісі $196,1 \text{ м}^2/\text{г}-\text{нан}$ $198,5 \text{ м}^2/\text{г}-\text{га}$ дейін артуына әкеледі. 400°C кезінде C_{6+} изомерлері бойынша селективтілігі өте жоғары күйінде сақталады: 93,6–93,8%. Крекинг өнімдерінің шығымы 0,4% аспайды. Pd-золь/AlZrCaHMM құрамына морденит енгізгенде, өсіресе, 250°C және 300°C температураларында белсенділігі мен селективтілігі артады. Изомеризация температурасын 400°C дейін көтерген кезде, C_{6+} 87,3% селективтілік кезінде н-гексан конверсиясы 57,8% дейін артып, изогександар шығымы 42,7% құрайды. 350°C кезіндепалладий мөлшерінің 0,1% дейін тәмендегенде н-гексан конверсиясы 54,8%-дан 51,8% дейін тәмендейді. Зерттелген температурлар интервалында C_{6+} изомерлер бойынша селективтілік барлық катализаторлар үшін жоғары болды 87,2–96,6%. Гидрокрекингтің өнімдер мөлшері 0,5%-дан аспайды. Pd-золь бөлшектерінің өлшемі электронды-микроскопиялықәдіспен (EMB-125K) анықталған, 4–7 нм құрайды. Электронды микроскопияның нәтижесіне сәйкес катализаторлар өлшемдері бойынша бөлшектердің біртекті таралуымен сипатталады.

Тірек сөздер: Изомеризация, н-гексан, бағаналы монтмориллонит, катализатор, палладий, алюминий, цирконий, нанобөлшектер, микрокеуектер, мезокеуектер.

Сведения об авторах:

Закарина Н. А. - д.х.н., проф. Алматы, ул. Кунаева 142, ИТКЭ им Д.В. Сокольского, 291-67-90, nelly_zakarina@rambler.ru;

Акурпекова А.К. - к.х.н., с.н.с. Алматы, ул. Кунаева 142, ИТКЭ им Д.В. Сокольского, 291-67-90, akurpekova@mail.ru;

Джумабаева Л.С. - PhD-докторант, Алматы, ул. Сатпаева 22, КазНИТУ им. К.И. Сатпаеваджитабаевы adzhitabaevs@mail.ru;

Жумадуллаев Даулет - м.н.с., Алматы, ул. Кунаева 142, ИТКЭ им Д.В. Сокольского, 291-67-90 dauletmmm@mail.ru